

FIG. 1

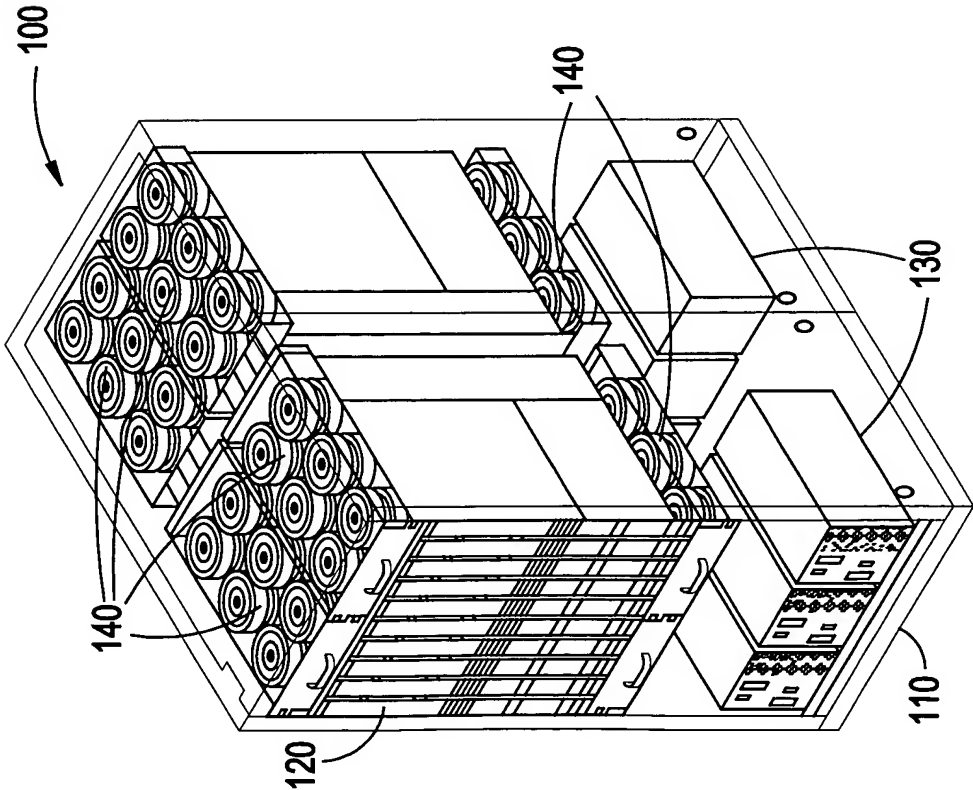


FIG. 2

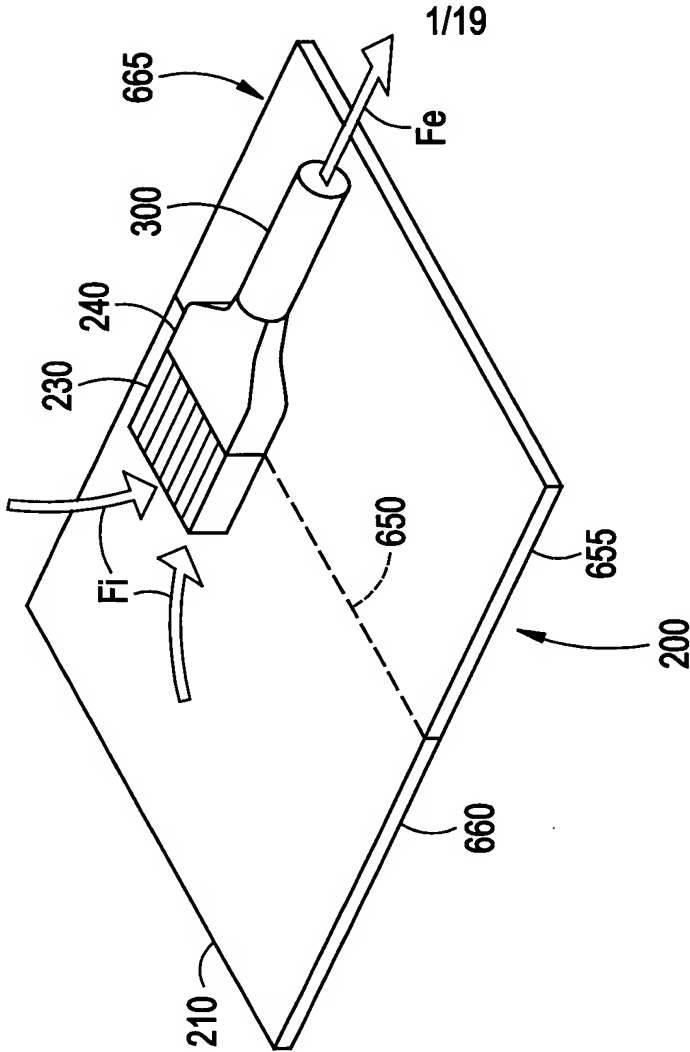
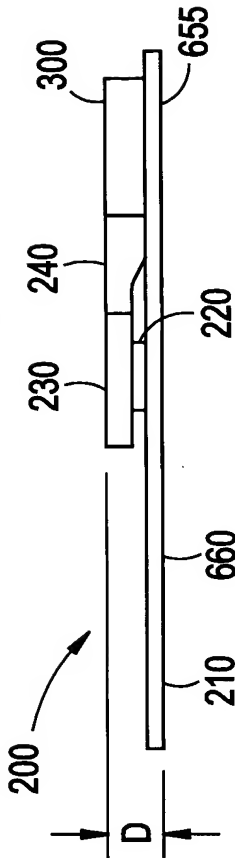


FIG. 3



2/19

FIG. 4

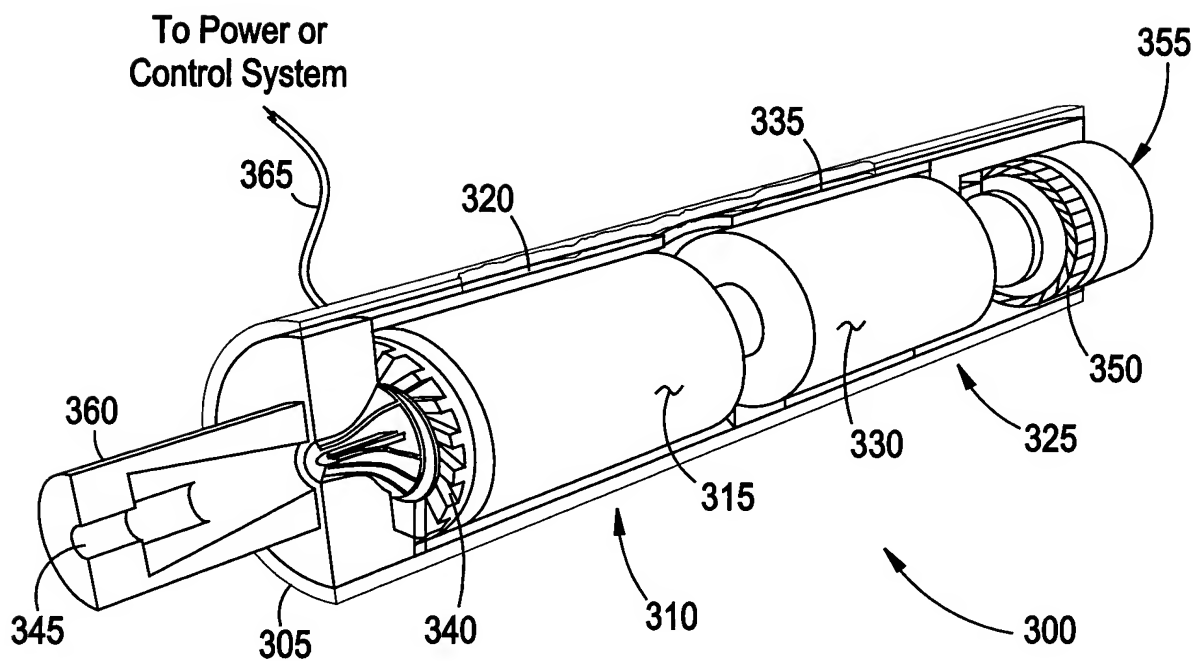


FIG. 5

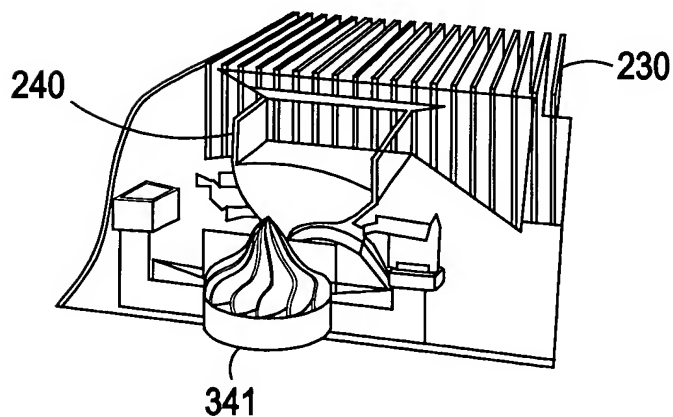
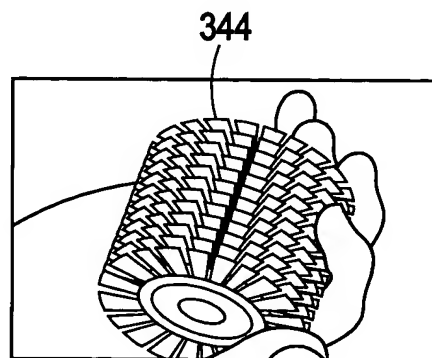


FIG. 6



3/19

FIG. 7

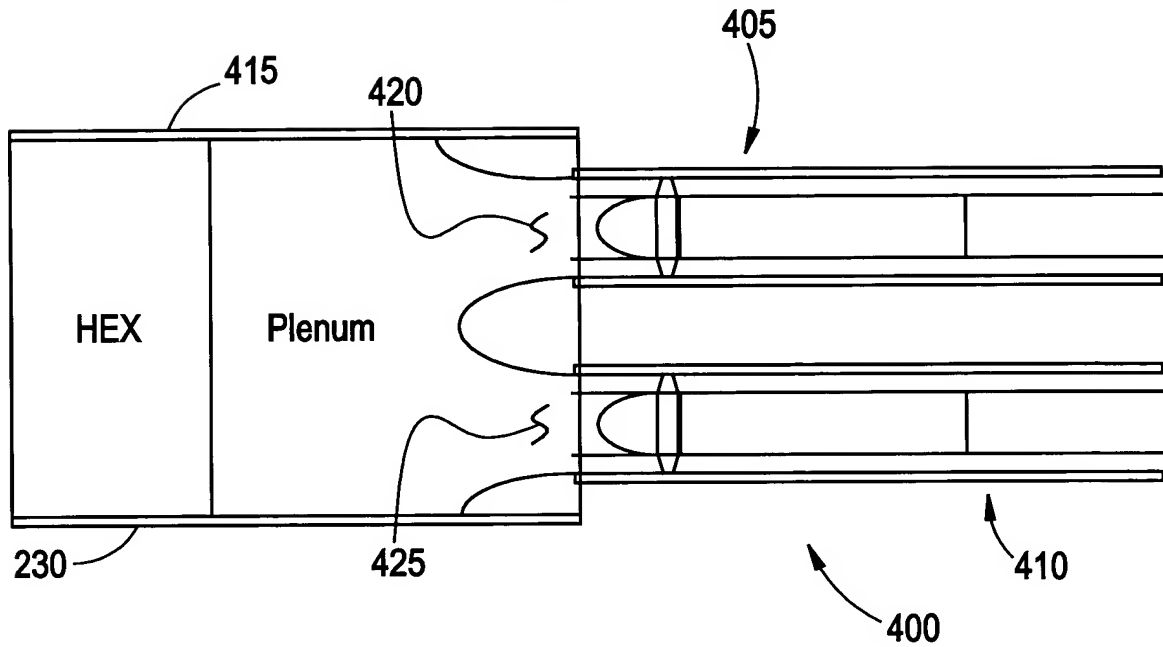


FIG. 8

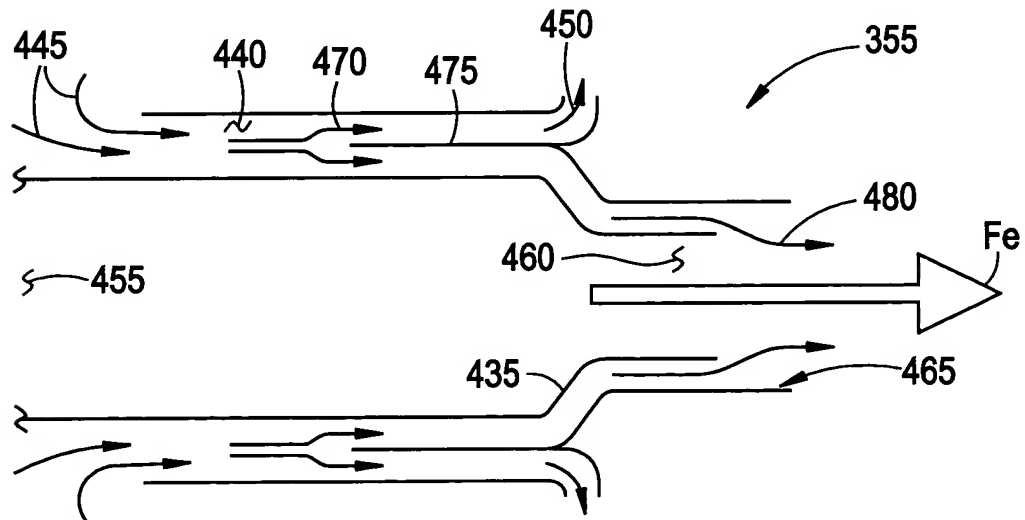


FIG. 9

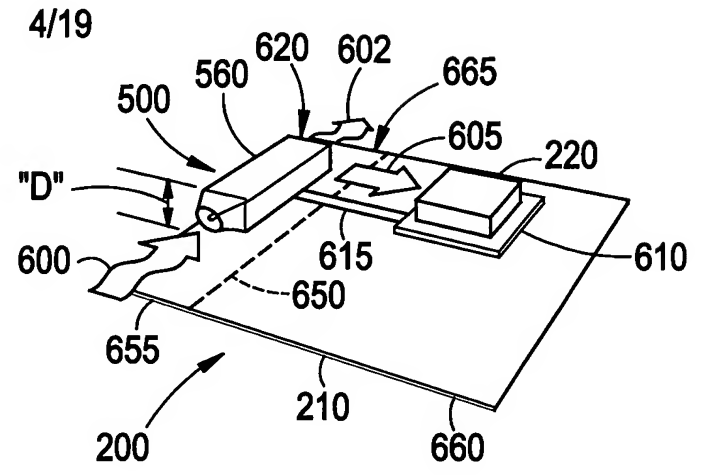
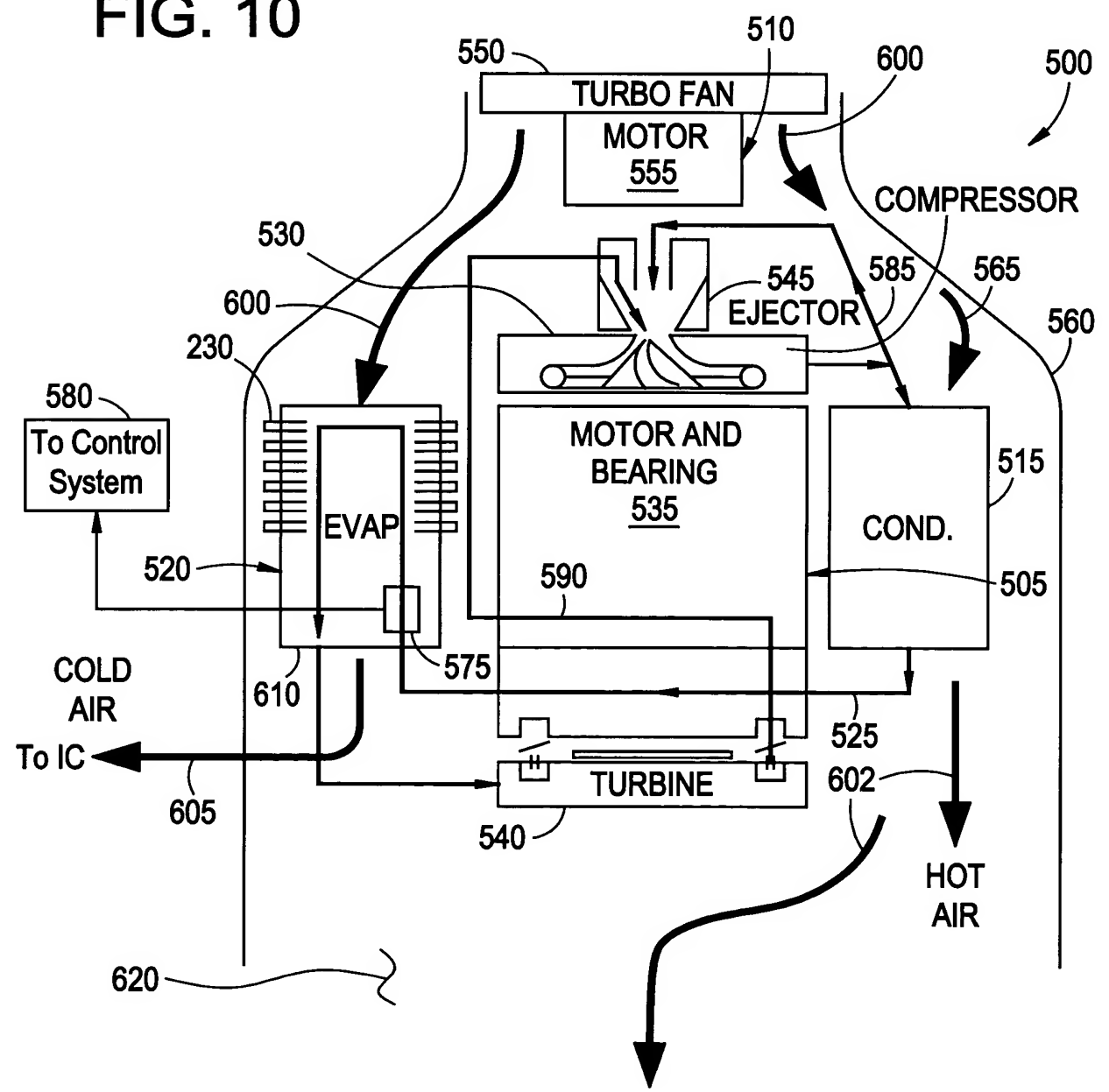
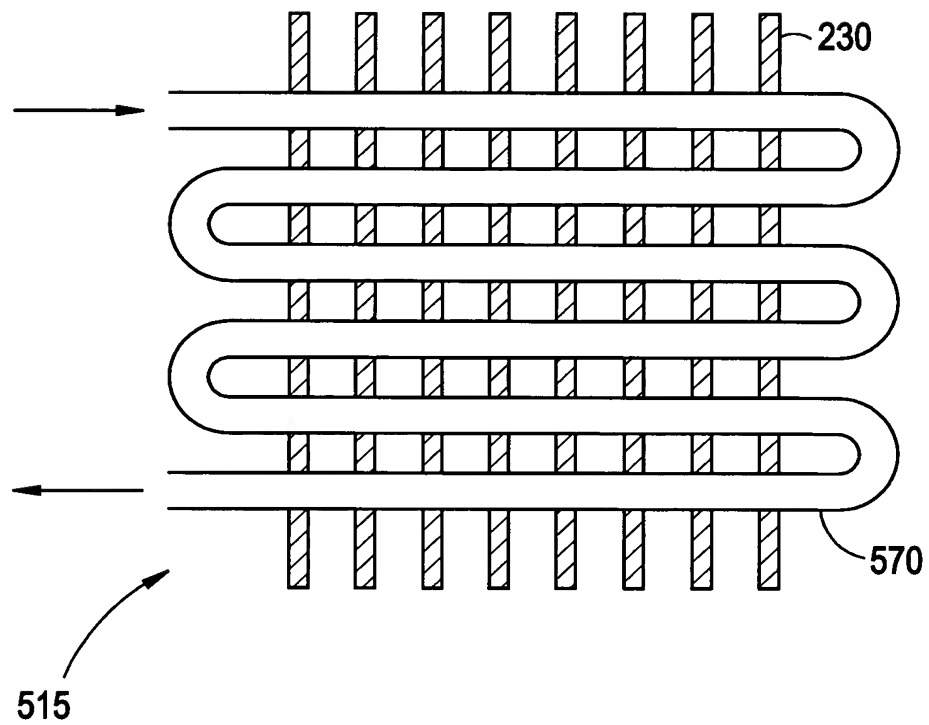


FIG. 10



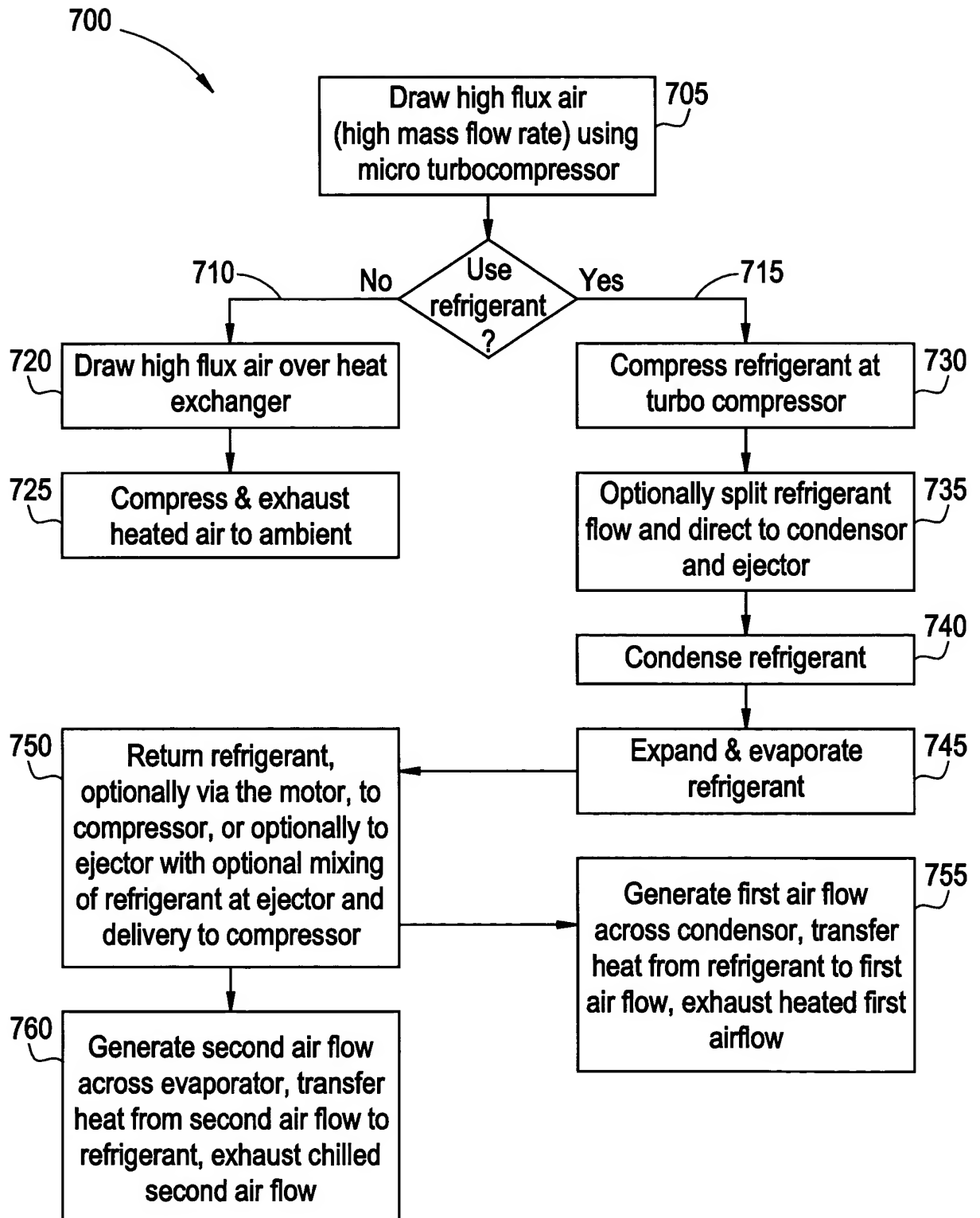
5/19

FIG. 11



6/19

FIG. 12



7/19

FIG. 13

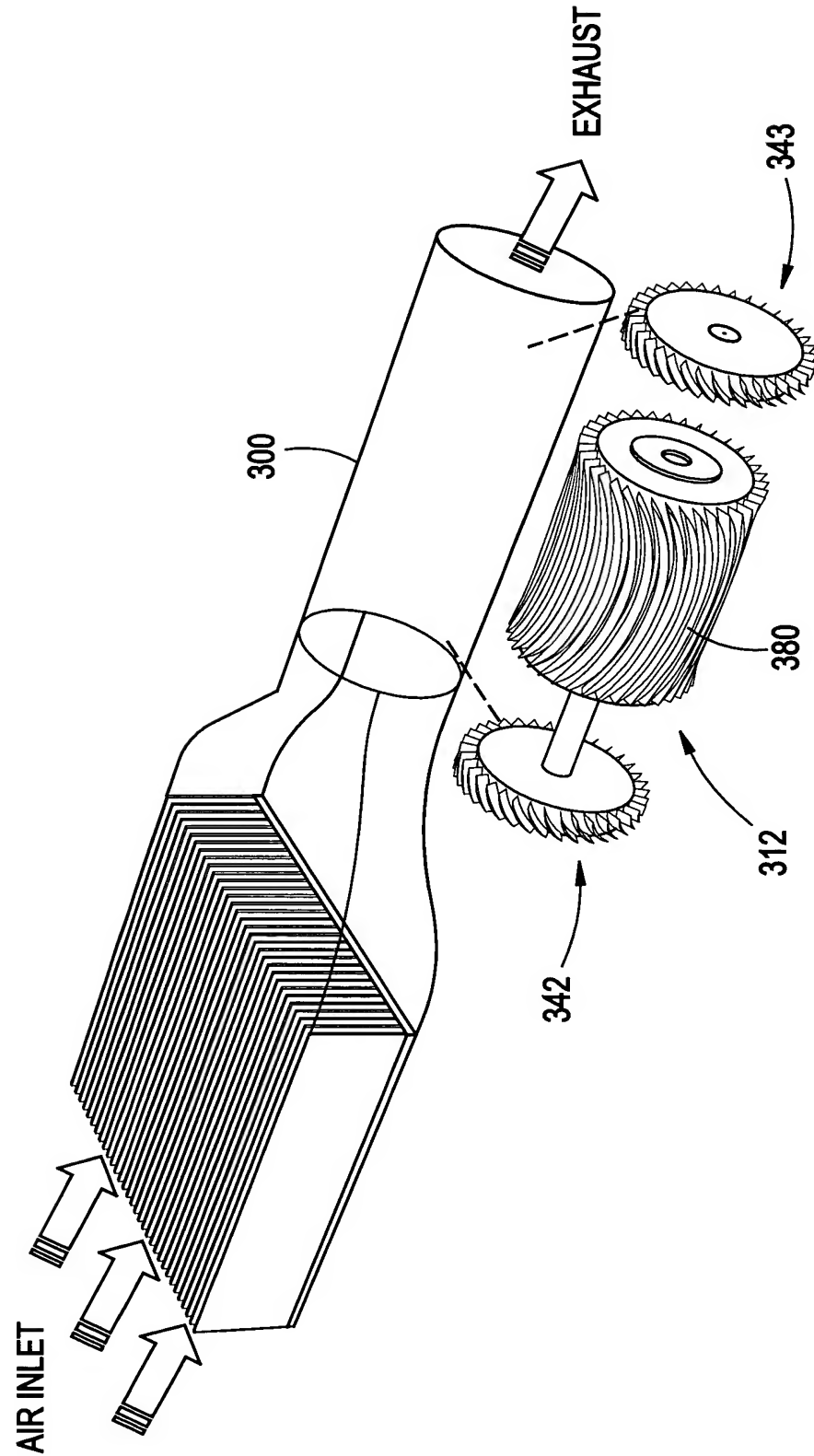
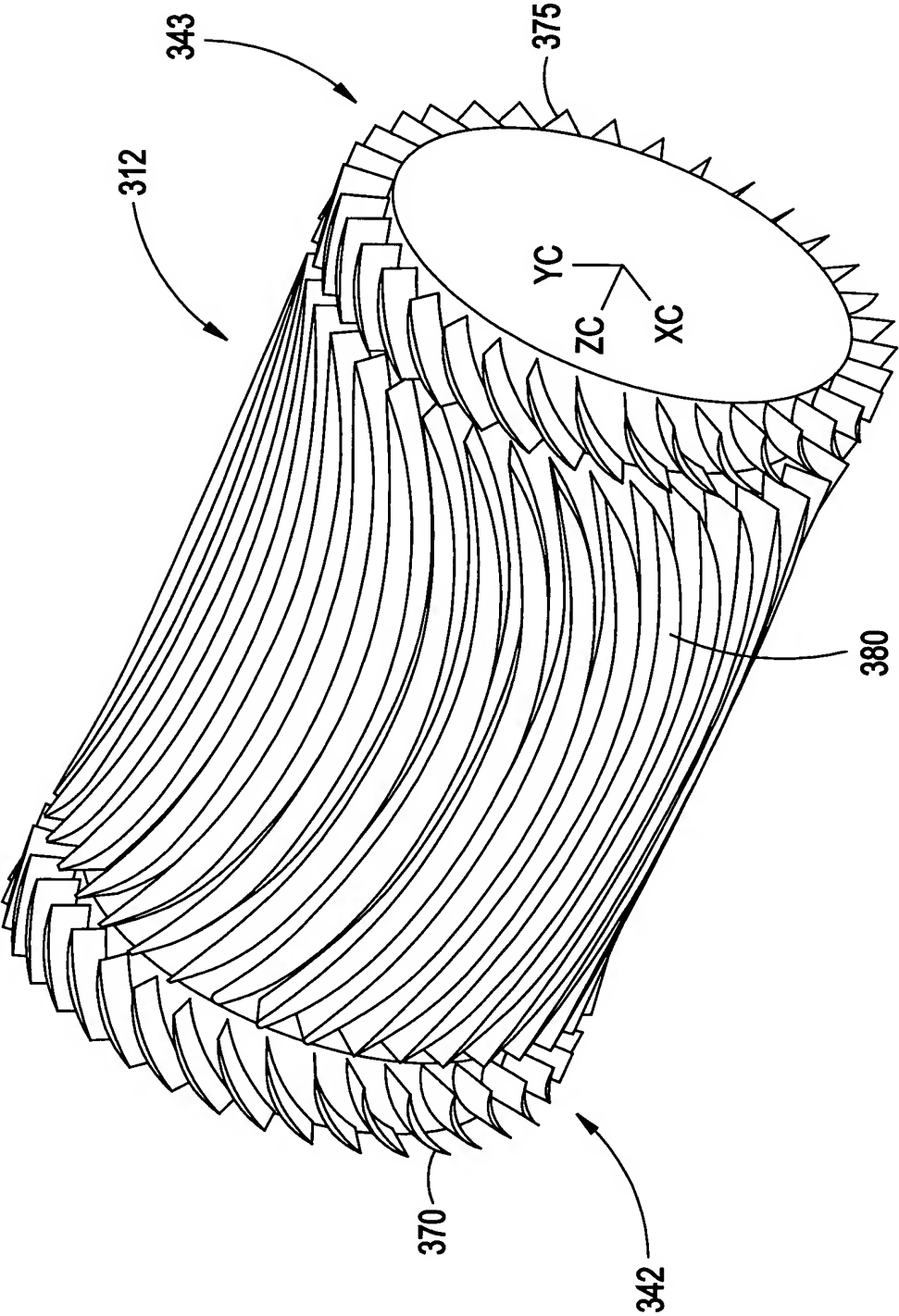
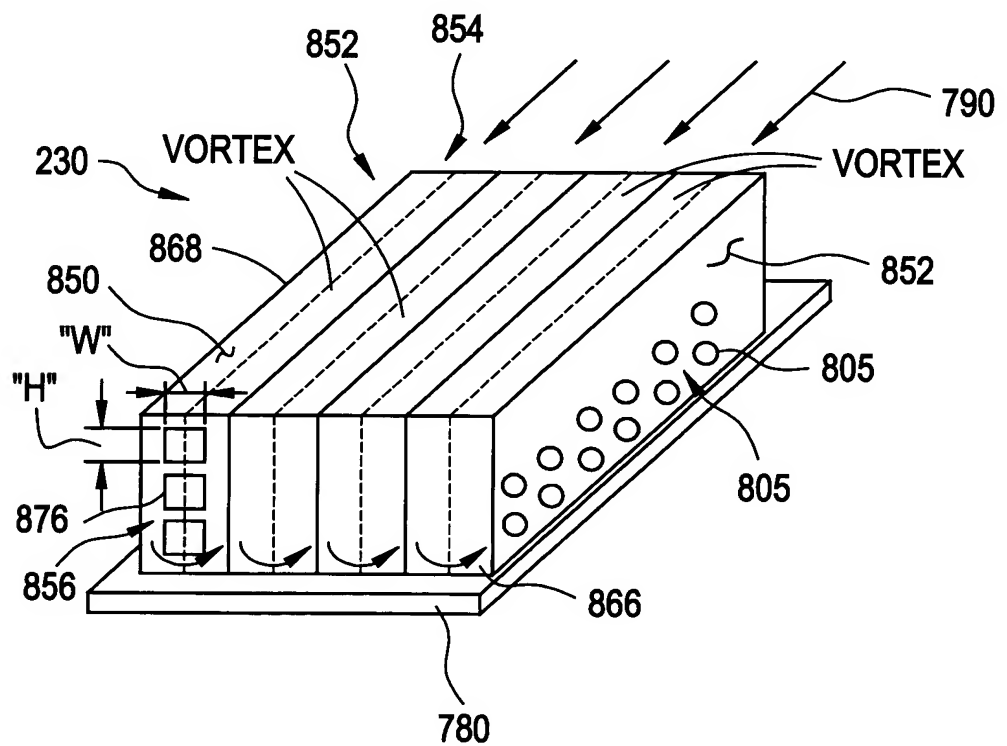


FIG. 14





10/19

FIG. 17

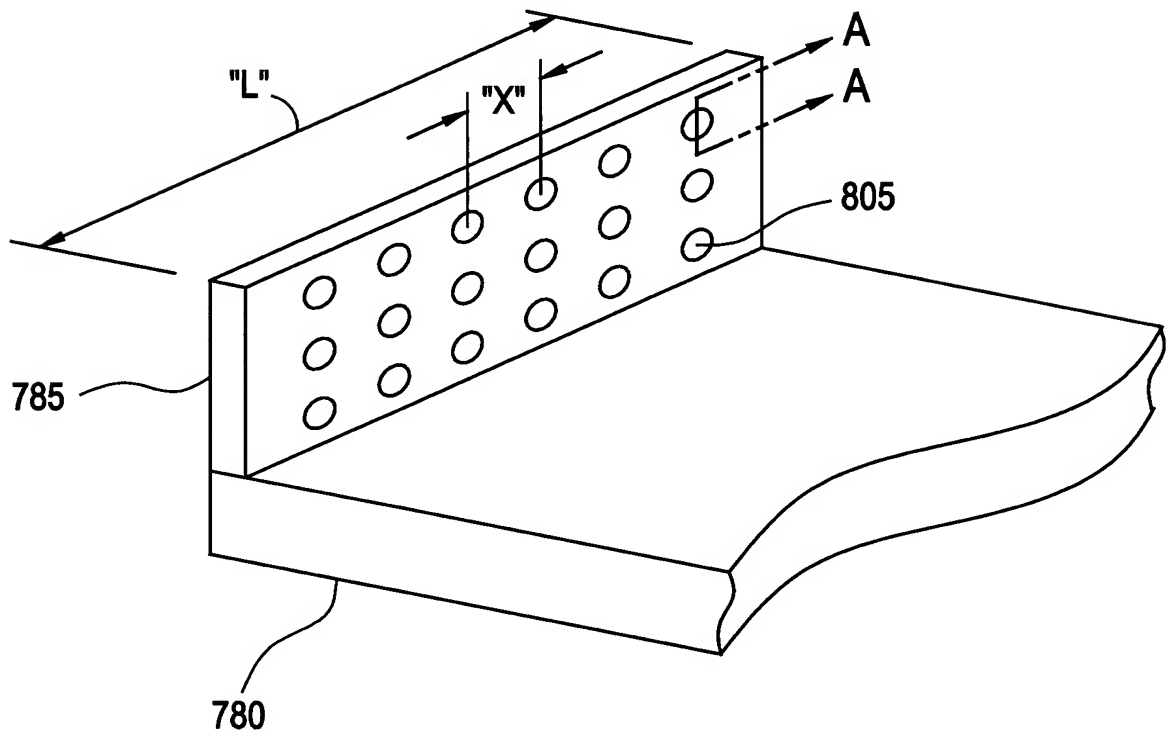
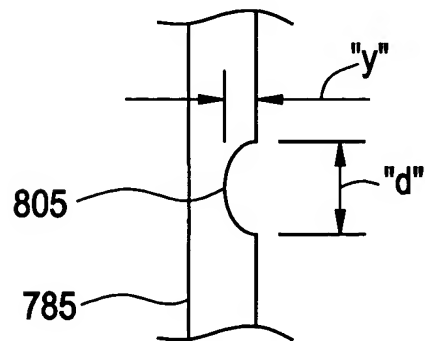
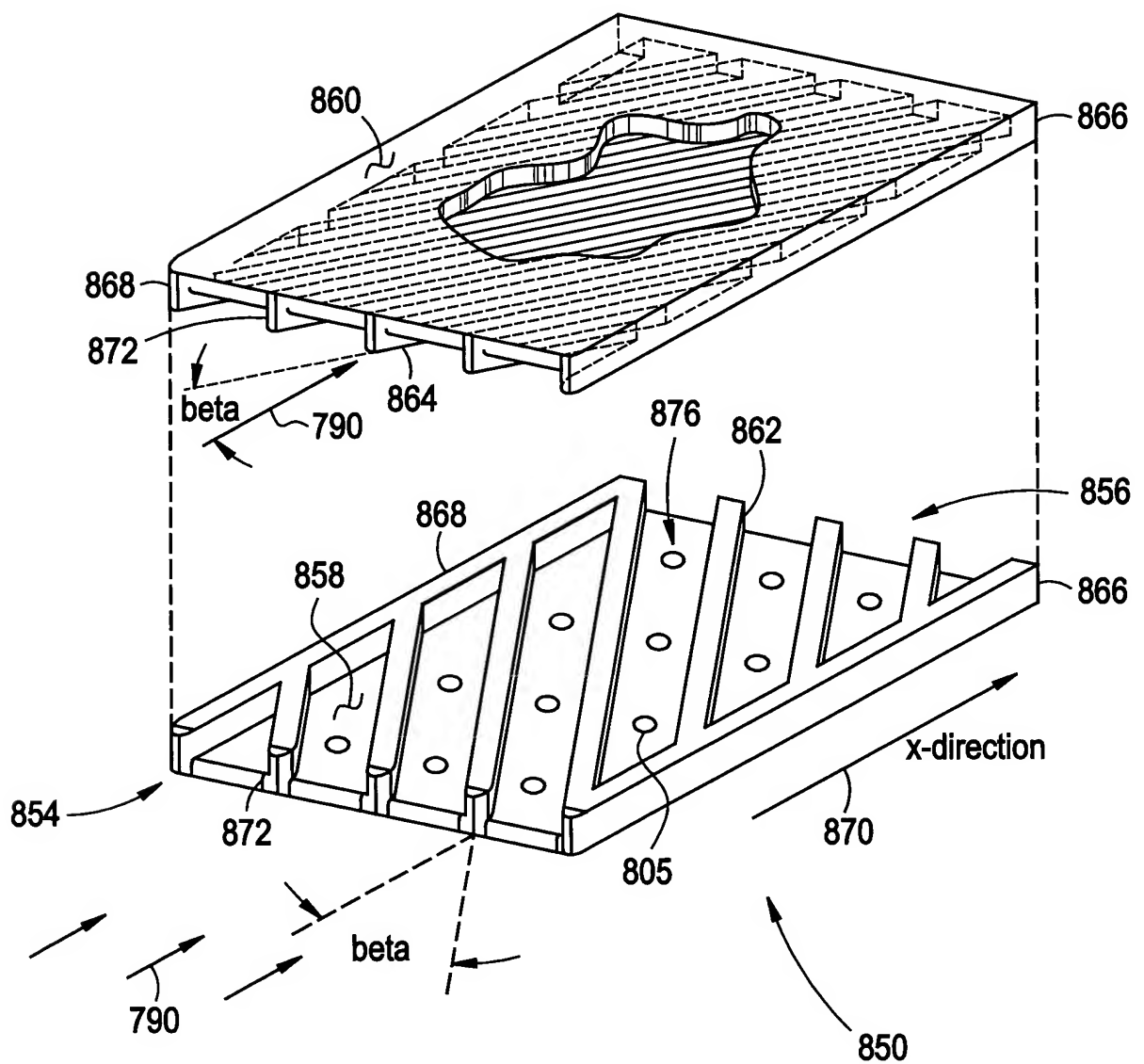


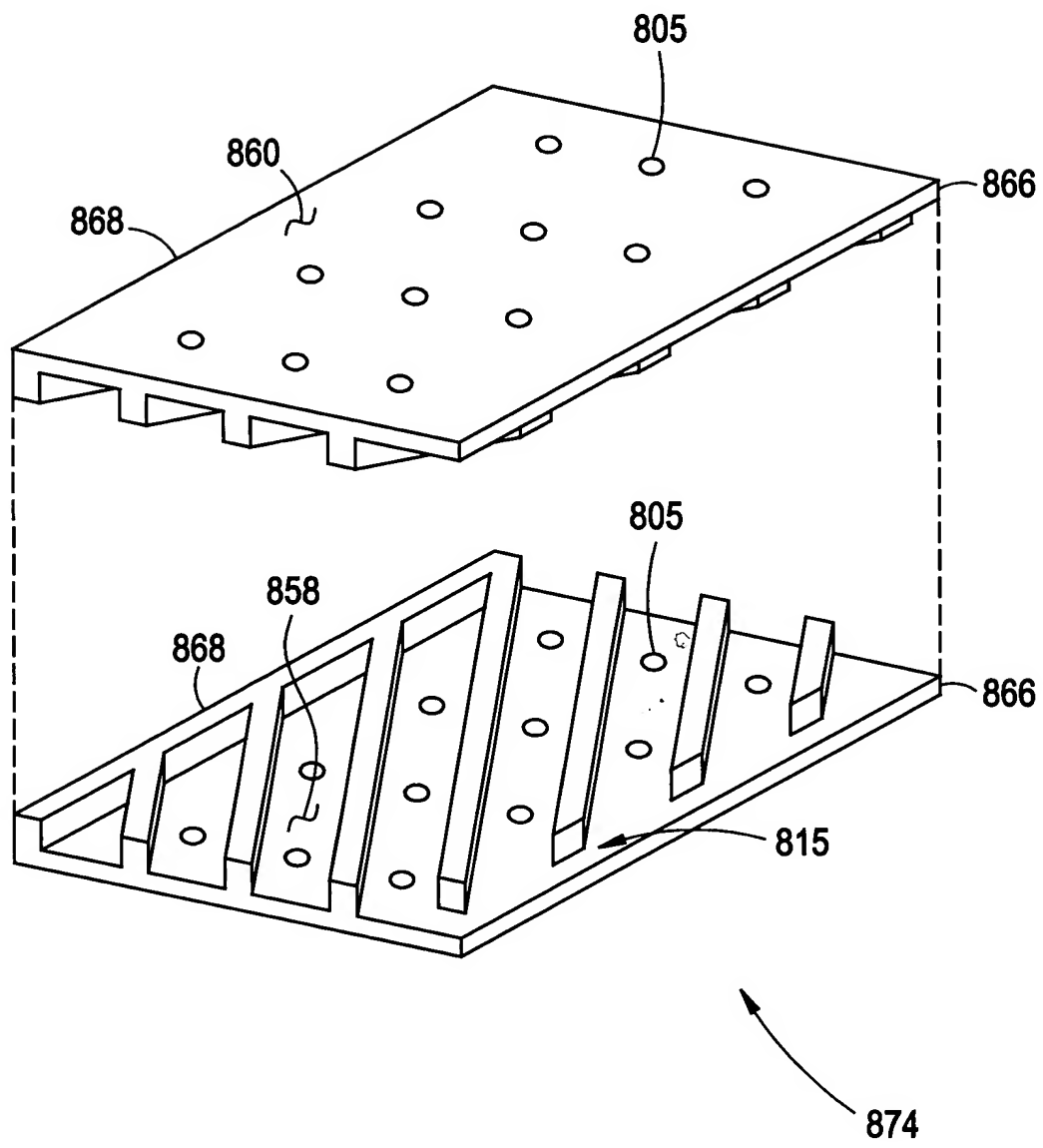
FIG. 18





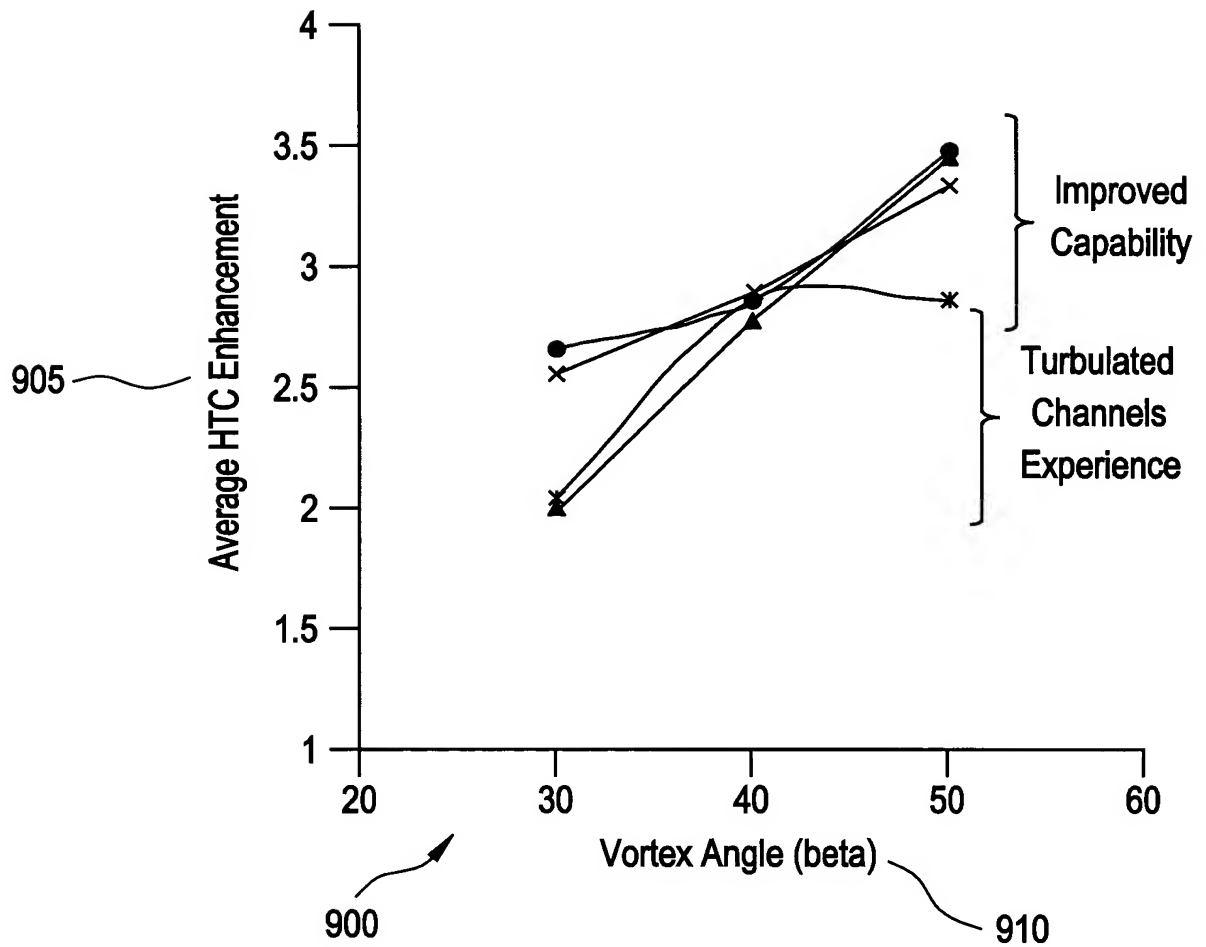
12/19

FIG. 20



13/19

FIG. 21



- 930 {
- ▲ Re = 70K, Wide 920
 - × Re = 70K, Narrow 915
- 925 {
- * Re = 33K, Wide 920
 - Re = 33K, Narrow 915

14/19

FIG. 22

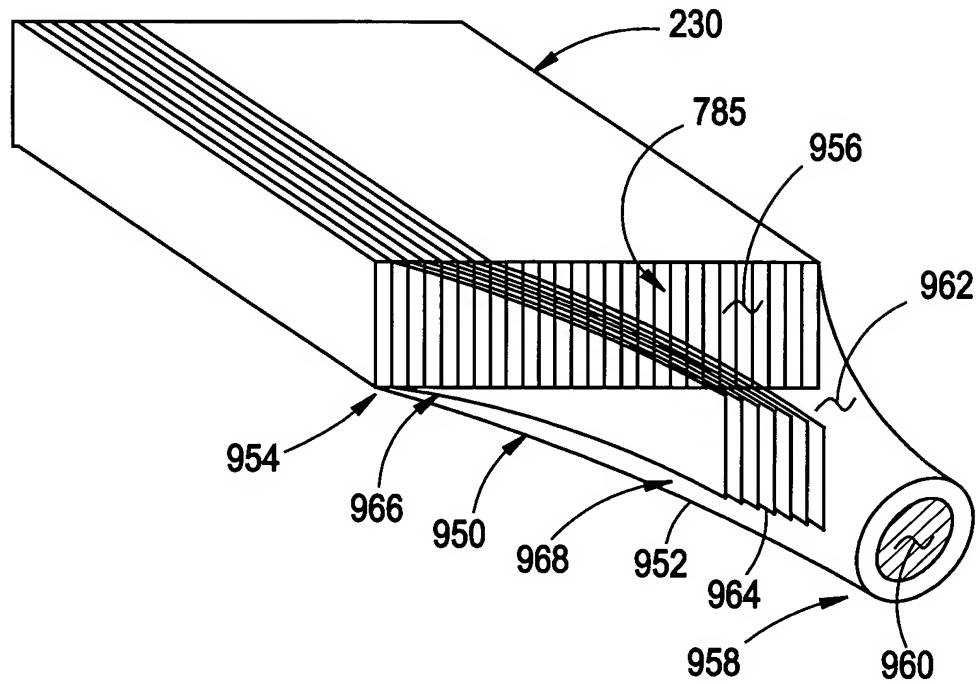
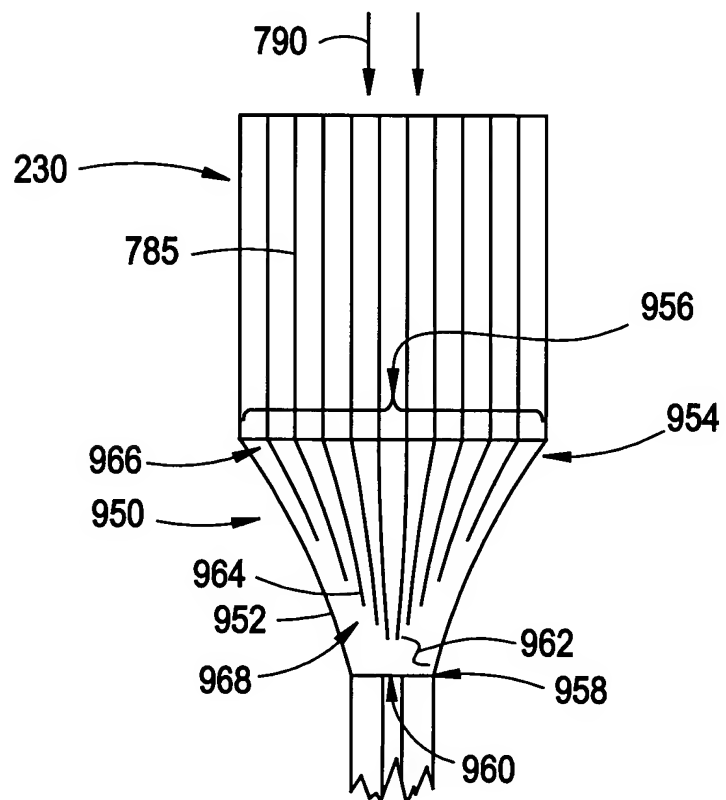
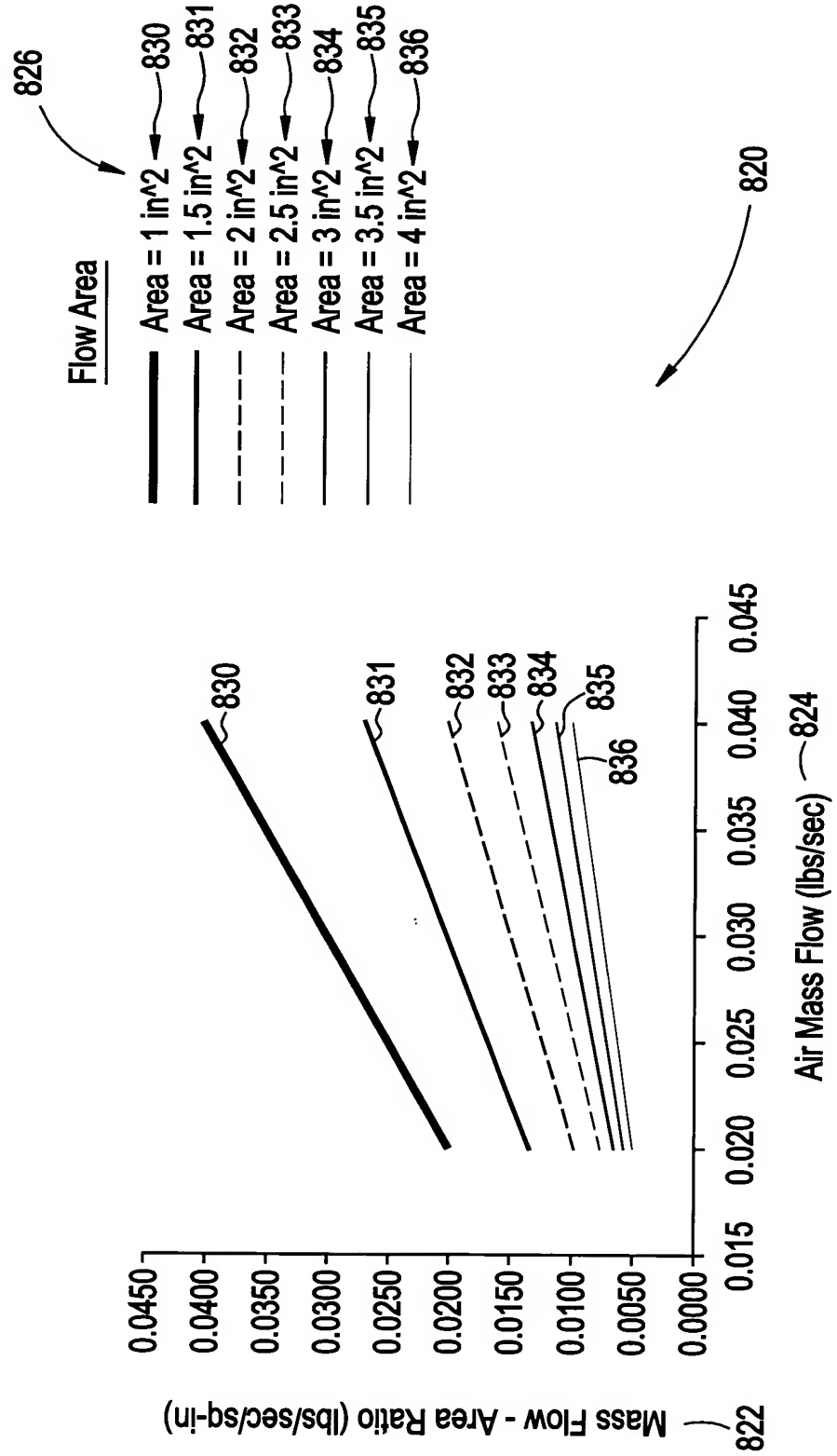


FIG. 23



15/19

FIG. 24



16/19

FIG. 25

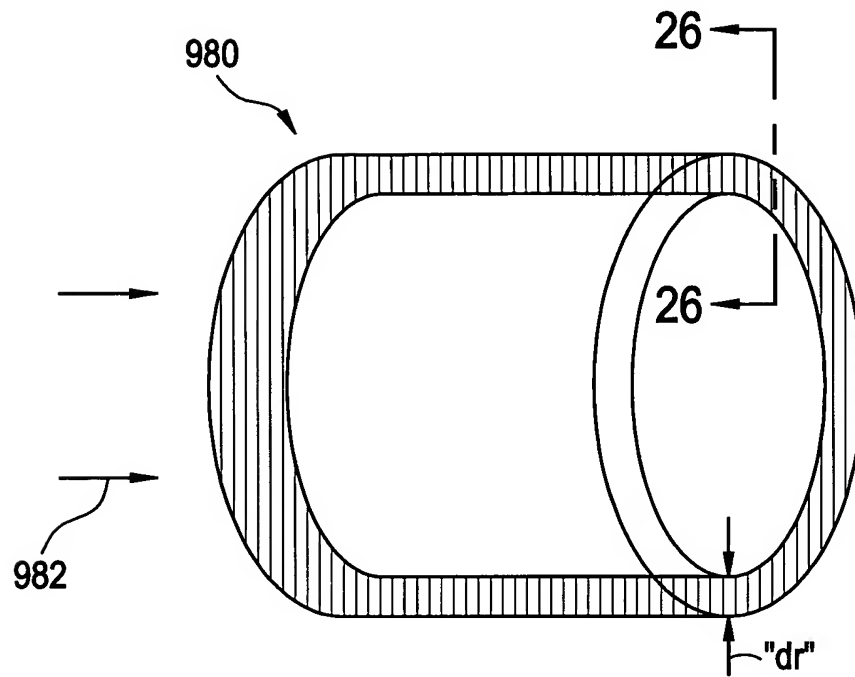
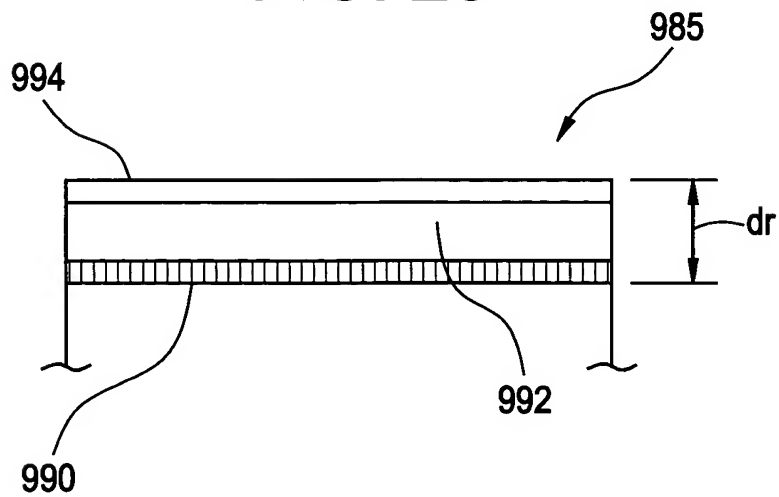
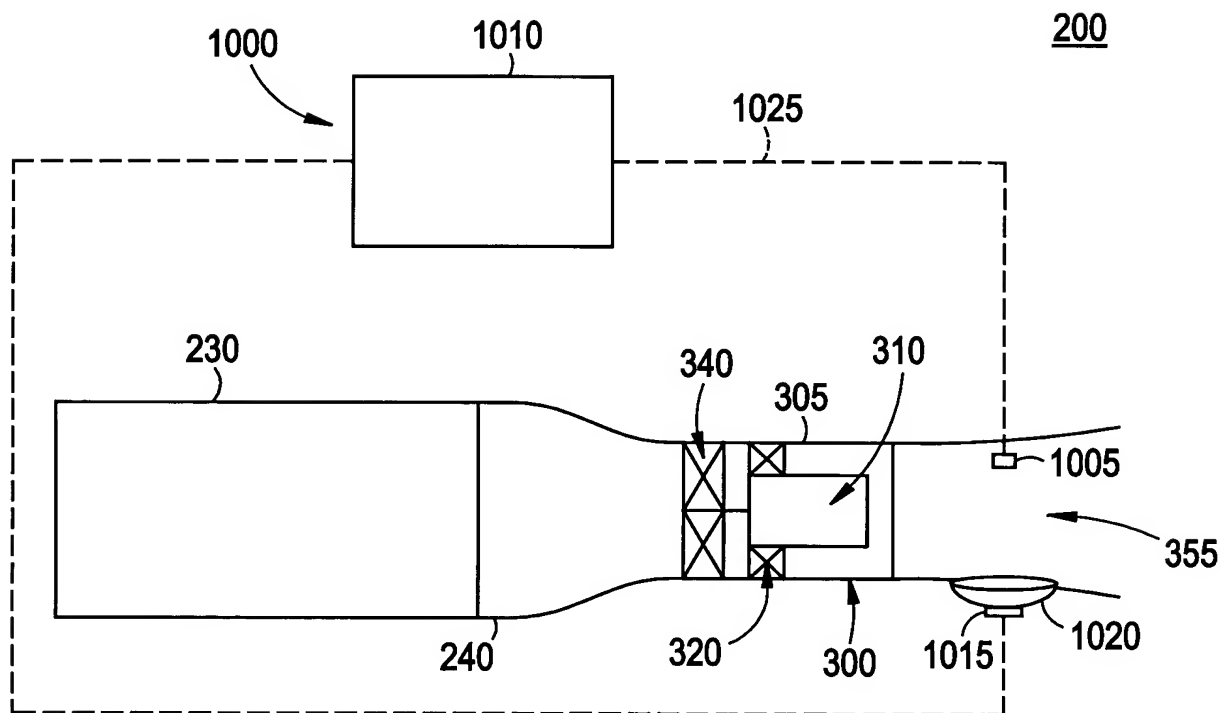


FIG. 26



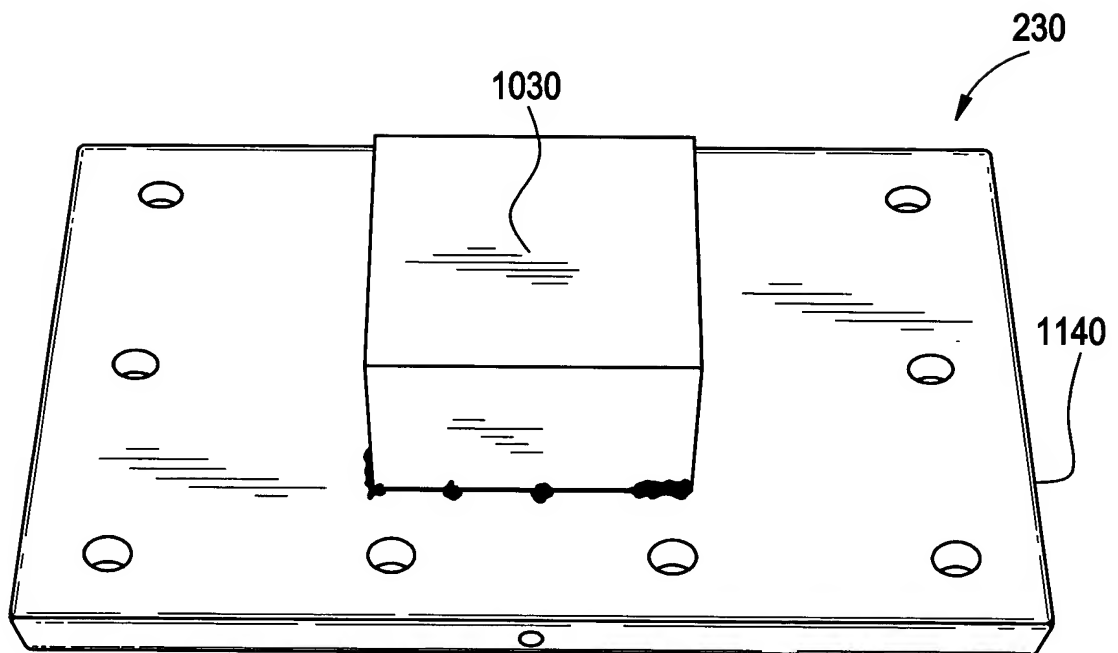
17/19

FIG. 27



18/19

FIG. 28



19/19

FIG. 29

